

建設省土木研究所 正員 橋本 宏
○ 建設省土木研究所 正員 山口 修

1. 緒言 著者らは神奈川県平塚海岸における現地観測の結果をもとに、碎波帯付近における長周期波について検討を行つてきた。その結果、平塚海岸においては0.02~0.05Hz程度の周波数をもつ長周期波が存在する可能性があること、また波高が小さい時には反射定常波が観測されることなどが明らかとなつた(詳しい詳細は第24回海講にて発表)が、これらの長周期波の発生機構や形態を明らかにするには至らなかつた。本論文ではその後に実施した現地観測の解析結果を中心に、碎波帯付近における長周期波の挙動について報告する。

2. 現地観測と解析結果 現地観測はこれまでと同様に平塚海岸で実施した。観測方法は現地用波高計を用いた観測システムであり、これらの観測から明らかとなった欠点を改良したものである。主

たる改良点は波高計用ケーブルの耐久性、強度を大

くした点であり、これによ

りて観測時間は飛躍的に増加し、今回の観測では60時間以上の記録を得ることができた。観測では8台の波高計を設置した。図-1は

波高計の設置位置と海浜地形を示す。平均海底勾配はこれまでと変わっておらず $\frac{1}{50}$ ~ $\frac{1}{60}$ である。観測された代表的なスペクトルをCASE 1,

CASE 2としてそれぞれ図-2, 3に示す。観測時の有義波諸元はCASE 1の場合、

波高 $1.5 \sim 1.6$ m、周期 $2.1 \sim 2.8$

秒、CASE 2の場合、波高 $2.0 \sim 2.2$ m、

周期 $6.4 \sim 7.8$ 秒である。なおスペクトル解析にはFFT法を用い、データ数

は2048、サンプリングタイムは1.2秒である。CASE 1は波高計を汀線と

平行方向に配置した場合であり、パワースペクトル図をみればわかる

ようK0.03~0.04Hzに長周期波の存在を示すエネルギーピークがあら

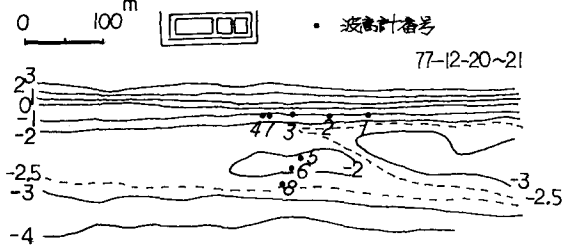


図-1 海浜地形と波高計設置位置

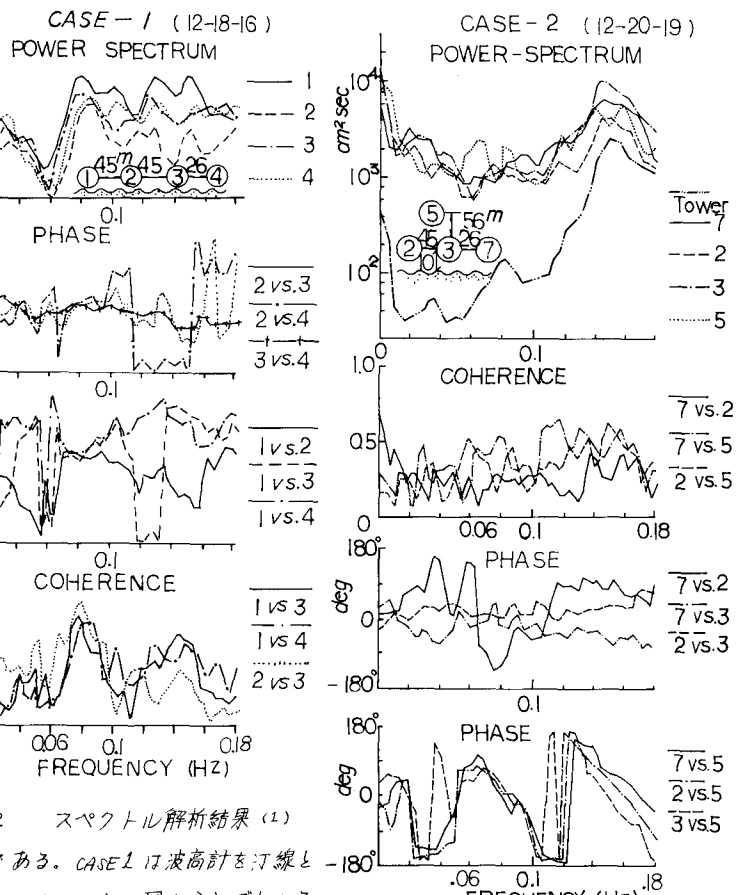


図-2 スペクトル解析結果(1)

ようK0.03~0.04Hzに長周期波の存在を示すエネルギーピークがあら

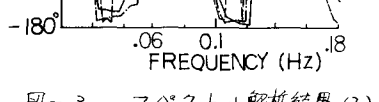


図-3 スペクトル解析結果(2)

われている。この付近の伝相関係に着目すれば、①とその他の波高計には伝相はずれがみられないが②、③、④間の伝相のずれは小さく、河線方向の運動が観測されていない。したがって、このピークがedge waveによるものと考える場合にはlow modeでは説明できぬ。①とその他の波高計の伝相関係が他の場合と異なるのは、図-1からわかるように、海底地形の影響によって波が変形した結果であると考えられる。CASE 2について河線方向と直角方向に波高計を配置した場合であり、0.02^{Hz}と0.04^{Hz}付近にパワーのピークがみられる。図のTowerといつのは沖合1 kmにある防災センターの觀測塔で觀測されたものである。ピーク付近の離岸方向の伝相関係を調べてみると、河線側の波高計②、③、④と沖合側の⑤では、0.02~0.04^{Hz}で伝相が元だけれどおり、⑤とその他の波高計の間にnodeをもつ長周期波が存在することがわかる。河線方向の伝相差に着目すると、⑦は②を除けば、その他の組合せでは、CASE 1と同様、伝相のずれは小さい。觀測された2つのピークをedge waveと考えた場合、low mode and edge waveでは伝相関係やエネルギー密度の相対関係を説明するには無理がある。河線方向の伝相はずれがみられるのは、CASE 1と同様海底地形の影響が大きいものと考えられる。0.04^{Hz}付近のピークはTowerにおいてもみられることがから、これは沖合から侵入してきた長周期波と考えられるが、その形態は不明である。次に波浪の群と長周期波について検討してみる。

現地海岸における波浪の群の周期的な変化が生じているとすれば、波高の時系列は周期的な三角波のパルス列となる。したがって、波高のスペクトルを計算すれば、三角波のパルスの周期に対応したピークがあらわれるはずであり、対応する周波数から波群の変化の卓越周期がわかる。CASE 1について波高のスペクトルを計算した結果が図-4である。図には①、②、③の場合を示しているが、いずれもほぼ0.02^{Hz}程度で周期的に変化しているようであり、したがって波群はほぼ100sec程度で周期波に変化していると考えられる。図-1では低周波側の分解能が悪いためピークの位置はよくわからないが、データ長を長くと、スペクトルを求めた場合においても明らかにピークは認められなかった。したがって今回の観測では波群の変化に伴う長周期波は発生していないと考えられる。次に波浪データにFFT法を利用した数値フィルター（遮断周波数0.05^{Hz}のローパスフィルター）をかけて、長周期波成分を取り出し、波浪と長周期波の有義振幅値を計算した結果が図-5である。ここで用いた資料はいずれも波高計が水深0.5~2mあかれていた場合の資料である。図からわかる通り、波浪の有義波高が大きくなるに従って、長周期波の有義振幅も大きくなるており、その関係は $H_{\text{sp}}^{(0)} = 0.4 H_0$ とほぼ線型の関係であらわせる。したがって碎波帯付近においては低周波数帯におけるパワーは非常に大きくなることが明らかである。

3. 結論 碎波帯付近に発達する長周期波について検討した。数回の現地觀測の結果は長周期波の存在を示すにとどまり、反射定常波を除けばサーフビートやedge waveのような典型的な長周期波は観測されなかつた。しかししながら、碎波帯付近においては低周波数帯にかなりのエネルギーが集中することは明らかであり、ある特定の波浪条件下ではこれらが共鳴的に発達することも十分考えられる。今後は觀測機器を改良して異常波浪時の觀測等を行なう必要があろう。

参考文献 橋本・山口・宇多・高木 平塚海岸における長周期波の現地觀測 第24回海講

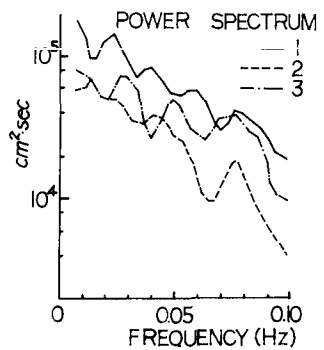


図-4 波高のスペクトル

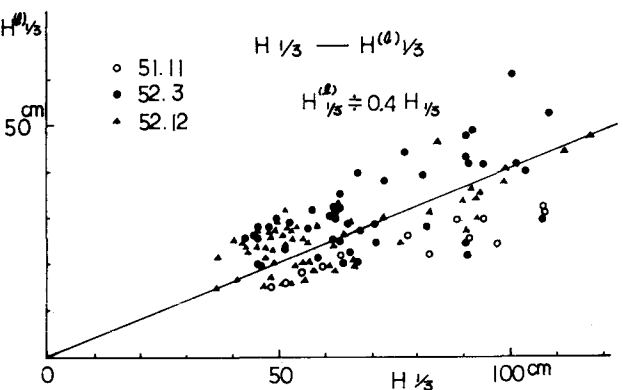


図-5 波浪と長周期波の有義波の関係

図-1では低周波側の分解能が悪いためピークの位置はよくわからないが、データ長を長くと、スペクトルを求めた場合においても明らかにピークは認められなかった。したがって今回の観測では波群の変化に伴う長周期波は発生していないと考えられる。次に波浪データにFFT法を利用した数値フィルター（遮断周波数0.05^{Hz}のローパスフィルター）をかけて、長周期波成分を取り出し、波浪と長周期波の有義振幅値を計算した結果が図-5である。ここで用いた資料はいずれも波高計が水深0.5~2mあかれていた場合の資料である。図からわかる通り、波浪の有義波高が大きくなるに従って、長周期波の有義振幅も大きくなるており、その関係は $H_{\text{sp}}^{(0)} = 0.4 H_0$ とほぼ線型の関係であらわせる。したがって碎波帯付近においては低周波数帯におけるパワーは非常に大きくなることが明らかである。

3. 結論 碎波帯付近に発達する長周期波について検討した。数回の現地觀測の結果は長周期波の存在を示すにとどまり、反射定常波を除けばサーフビートやedge waveのような典型的な長周期波は観測されなかつた。

しかししながら、碎波帯付近においては低周波数帯にかなりのエネルギーが集中することは明らかであり、ある特定の波浪条件下ではこれらが共鳴的に発達することも十分考えられる。今後は觀測機器を改良して異常波浪時の觀測等を行なう必要があろう。

参考文献 橋本・山口・宇多・高木 平塚海岸における長周期波の現地觀測 第24回海講